

# 有限要素法による不飽和土の圧密変形解析

秋田大学 学生員 甲 標洋

1.はじめに。前回、Biotの線形弾性圧密理論<sup>1)</sup>を用いて、熱弾性理論におけるエントロピー変位の代わりに流量である物理量を用い、土粒子骨格の変位と流体流量の二つを独立変数とし、不飽和材料上の有限要素法のための定式化を行ない、その数値解析例として、一次元圧密問題の数値結果を示した<sup>2)</sup>。本報告においては、先に提示した解式を用い、二次元圧密問題を例とし、その地下現象とこの種の問題において、多くの興味がある間隙圧力の挙動を示すこととする。

2.弾性圧密変形のための変分方程式と剛性方程式。圧密現象において、流体の流れかDarcyの法則に従うようならゆっくりして流れであるとすれば、温度変化の小さい場合の車氏熱弾性理論の場の方程式の代わりにBiotの線形弾性圧密理論の支配方程式を用いることにより、一次圧密に対する支配方程式と境界条件とを満足する変分方程式が不可逆過程の熱弾性的なBiotの考え方と同様にして、土粒子骨格の変位と流体流量を独立変数として説明することができる。(参考文献2), 3), 4))

$$\begin{aligned} \delta V + \delta u &= \int_V F_i \delta u_i \, dv + \int_V p_i \delta v_i \, dv + \int_s (T_i \delta u_i - p_i \delta v_i) \, ds \\ V &= \frac{1}{2} \int_V (\bar{\epsilon}_{ij} e_{ij} + p_i) \, dv = \frac{1}{2} \int_V (C_{ijkl} e_{kl} + p_i) \, dv \quad (\text{弹性圧密モテンシャル}) \\ u &= \frac{1}{2} \int_V \lambda_{ij} v_i v_j \, dv \quad (\text{潜伏エネルギー}) \end{aligned} \quad (1)$$

この変分方程式は有限要素法の考え方の基本に従って定式化を行ない、任意の要素に対して変分  $\delta u^e$  と  $\delta v^e$  が任意の値をとりうることから、平衡方程式と流れの現象方程式を意味する二元連立方程式を得、Wilson-Cloughにより動的応答問題に関する提唱された差分式を用いれば、マトリックススペクトル表示された任意の時刻における剛性方程式が次式のように得られる。

$$\begin{pmatrix} F \\ -v \end{pmatrix}_e^e + \begin{pmatrix} F \\ v \end{pmatrix}_e^e + \begin{pmatrix} 0 \\ \lambda \end{pmatrix}_e^e = \begin{pmatrix} K_{11} & K_{12} \\ K_{21} & K_{22} \end{pmatrix} \begin{pmatrix} u \\ v \end{pmatrix}_e^e \quad (2)$$

次で、全体会の領域にわたって  $F_e$  (2) を重ね合せると系全体の剛性方程式を得る。なお、均質等方性体の材料の場合、応力-ひずみ関係をマトリックス表示すると次のようになる。(平面ひずみ問題)

$$\begin{pmatrix} F_x \\ F_y \\ F_{xy} \\ v \end{pmatrix} = \begin{pmatrix} 2G(1-\nu)/(1-2\nu) + \alpha Q & 2G\nu/(1-2\nu) + \alpha Q & 0 & \alpha Q \\ 2G\nu/(1-2\nu) + \alpha Q & 2G(1-\nu)/(1-2\nu) + \alpha Q & 0 & \alpha Q \\ 0 & 0 & G & 0 \\ -\alpha Q & -\alpha Q & 0 & -Q \end{pmatrix} \begin{pmatrix} \frac{\partial u}{\partial x} \\ \frac{\partial v}{\partial y} \\ \frac{\partial u}{\partial y} + \frac{\partial v}{\partial x} \\ \frac{\partial v}{\partial x} + \frac{\partial u}{\partial y} \end{pmatrix} \quad (3)$$

3. 数値計算例とその考察。解析例として、一様な地盤上に無限の底面よりも一定の荷重を載荷し、載荷面からの排水のみ許されるといふ土層の一次元圧密問題を取り上げた。土層は均質、等方材料土とし、数値解析の境界条件として鉛直方向の流体の流れのみ生じるという条件を取り入れる。図-1はこのときの有限要素法によって求めた上層内部の間隙圧力と荷重強度との比、すなわちの載荷直後の挙動を示すものである。これによると、不飽和土の場合、土粒子骨格の瞬時変形の影響のため、土層内部に一様な間隙圧力を発生させ、時間の経過とともに載荷面からの排水とともに間隙圧力の減少が起こる。しかしながら、この土層内部に引き起される間隙圧力は載荷された荷重強度よりも

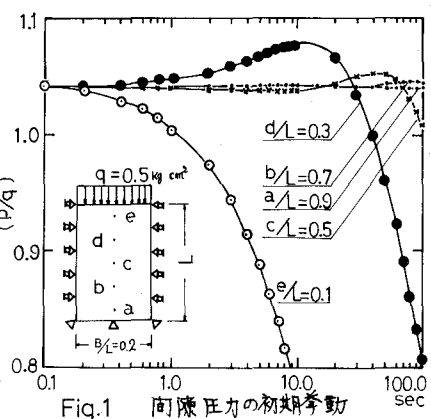


Fig.1 間隙圧力の初期挙動

大きな圧力強度をもつて固内発生させる。いわゆる Mandel-Cryer 効果の現象を不飽和土の場合も顯著に示すか、飽和土のいずれもの場合のように荷重が載荷された瞬間  $\Delta t = 1.0$  の直後とらず、飽和度の影響をうけて値をとる。さらに、土層内部の各位置の最大間隙圧力の発生する時間的差異、すなわち、元々伝播の現象をはつきりと把握することができる。土層内の最大間隙圧力の発生は、図-1 から推定されるように荷重の載荷後ある時間か経過した後、しかもこの場合、土層厚の中心より上側の方に生じ、中心においては間隙圧力のわずかの減少の後、ピークに達すると、いわゆる深めの動きとなり認められる。これらの現象は土層の下端を非排水としたことによる起因するものと思われる。図-2 は土層内の特に間隙圧力の変化の激しい  $c/L = 0.5$  の位置でのボアソン比の変化による初期間隙圧力の動きを表したものである。この数値解析の結果によるとそれほど大きな影響はなく同じ荷重強度に対して最大間隙圧力の発生する時間的差異と大きさに違いがある。すなわち、文献(6)の飽和土に対するようだけではなく、さりとしたものではないが、ボアソン比の値が大きいかどうかで、ピークに達する時間が早く、この際最大間隙圧力もわずかに大きい。次に、局部載荷による側方流動および地盤の局所沈下のようすを次元圧密問題として取り上げた。図-3 は等方・均質地盤に局部載荷したときの沈下曲線を示すものである。飽和度  $\alpha = 0.98$ 、 $\nu = 0.0$  とし、解の比較のため Biot の理論解析値も示してある。この結果によると、有限要素法による解と Biot の解よりも大きな差を示す。この原因と考えられるのは Biot の境界値問題としてのモデルが深さ方向および地盤の広がり方向に対しても、おのおの半無限、および無限の広がりをもつ地盤を対象としているのにに対して、有限要素法のための解析モデルが深さ、および広がり方向に対しても有限な地盤としたことにある。すなわち、境界上の拘束の影響を非常に大きくうけ、さらに、土質材料をガラス瓶にためたような型式の境界条件をとったため、境界上での流体の流れが起こり易いからであると推察される。

4.まとめ。これまで報告した解析法によると、1) 境界における拘束の影響が大きい; 2) 不飽和材料の場合の Mandel-Cryer 効果の確認。3) として、幾何学的不調和を内蔵するゆえ、要素の分割の仕方により計算結果が異なるので要素において結果の平均値とする必要がある。従って、解析の対象とする地盤の深さおよび広がり方向の境界に対して荷重の影響が到達しないように十分考慮してモデル化する必要がある。

#### (参考文献)

- 1). Biot, M.A., "General Theory of Three-Dimensional Consolidation," Journ. Appl. Phys., Vol. 12, Ed., 1941.
- 2). 伊藤洋, "有限要素法による不飽和土の圧密变形解析", 土木学会東北支部発表会, 昭和49年2月。
- 3). Biot, M.A., "Thermodynamics and Irreversible Thermodynamics," Journ. Appl. Phys., Vol. 27, No. 3, March., 1956
- 4). Brode, M., Akyuz, T., and Pich, H., "Finite Element Method of Consolidation of Unsaturated Soil," Proc. Int. Symp. F.E.M. in Flow-Problem, 1974.
- 5). Zienkiewicz, O.C. and Y.K. Cheung /吉田雅夫監訳/「有限要素法」、トリックス有限要素法、chap. 10, 増刊館, 1970,
- 6). 長谷川武雄「土質力学」、chap. 4, part. 4, 技報室。

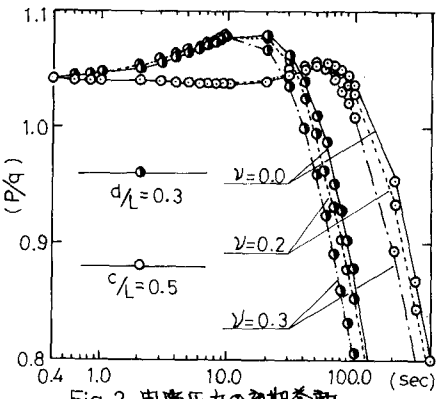


Fig. 2 間隙圧力の初期挙動

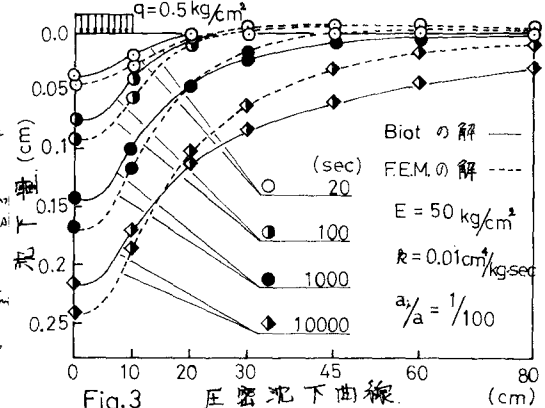


Fig. 3 壓密沈下曲線